
LAB 4 – Circuit Analysis

Ana Lopes (98587)¹ and Mariana Mourão (98473)²

Group number 1

¹ Instituto Superior Técnico,

Integrated Master's in Biomedical Engineering,

ana.rita.santos.lopes@tecnico.ulisboa.pt

² Instituto Superior Técnico,

Integrated Master's in Biomedical Engineering,

mariana.mourao@tecnico.ulisboa.pt

Exercícios:

1. Para o presente exercício, foram derivados os valores das voltagens (V_i , V_1 , V_c e V_o) em certos nós, bem como correntes (i_1 , i_c e i_2) em diferentes porções do circuito ilustrado na Figura 1, considerando que o circuito é alimentado por um gerador de voltagem DC. Note-se que $V_i = V_{cc}$, sendo que o valor de V_{cc} corresponde a 5.0 V no *Seeeduino Nano*.

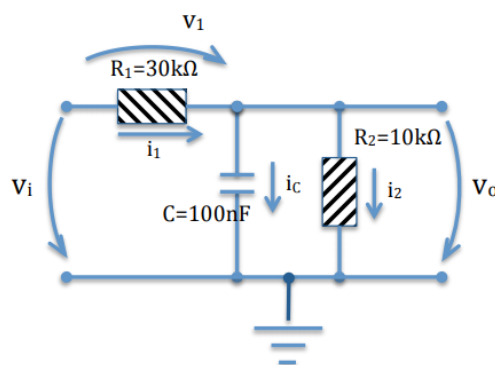


Figura 1 – Circuito RC passivo de 1ª ordem, ilustrando-se os valores dos componentes, bem como as grandezas do mesmo a estimar.

Ora, em regime DC, o condensador está totalmente carregado (comportamento estacionário), podendo ser aproximado por um circuito aberto. Como tal, a corrente no circuito apenas irá circular pela malha fechada definida pelo gerador de tensão V_i e pelas resistências R_1 e R_2 (isto é, $i_1 = i_2$, com $i_c = 0$), obtendo-se na prática um divisor de tensão em V_o entre as resistências em série, dado pela expressão 1 derivada pelas leis de Kirchhoff. Conjugando

com a lei de Ohm (expressão 2), é possível derivar a corrente aos terminais de R1, em função da tensão de entrada, considerando o sistema na expressão 3.

$$V_o = \frac{R_2}{R_1 + R_2} \times V_i \quad \text{Expressão 1}$$

$$R = \frac{V}{i} \Leftrightarrow i = \frac{V}{R} \quad \text{Expressão 2}$$

$$\begin{cases} i_1 = i_2 = \frac{R_2}{R_2 \times (R_1 + R_2)} \times V_i = \frac{V_i}{R_1 + R_2} \\ V_1 = i_1 \times R_1 \end{cases} \quad \text{Expressão 3}$$

Os valores obtidos teoricamente encontram-se apresentados na Tabela 1.

Tabela 1 – Resultados teóricos das tensões e correntes do circuito ilustrado na Figura 1, em regime DC.

	Voltagens Derivadas (V)		Correntes Derivadas (mA)
V_i	5.00	i₁	0.125
V_o	1.25	i₂	0.125
V_c	1.25	i_c	0
V₁	3.75		

2. Neste exercício pretende-se derivar a função de transferência, expressa por $G(s) = \frac{v_o(s)}{v_i(s)}$, assim como a resposta em frequência, $H(\omega)$. Contrariamente ao exercício 1, o circuito funciona em regime AC, devido à contribuição do condensador. Ora, a impedância do condensador corresponde a $Z_c = \frac{1}{sC}$, com $s = \sigma + j\omega$, pelo que a tensão de saída V_o em função da tensão de entrada V_i pode ser obtida através da expressão 4, com $Z_2 = R_2$, $Z_1 = R_1$ e $Z_2 || Z_c = \frac{1}{sC + \left(\frac{1}{R_2}\right)} = \frac{R_2}{1 + sC \times R_2}$. Deste modo, $G(s)$ obtém-se pela expressão 5. Considerando-se o sinal de

entrada como uma sinusóide ($s = j\omega$), a partir da expressão 5 obtém-se $H(\omega)$, dada pela expressão 6.

$$V_o = \frac{Z_2 || Z_c}{Z_2 || Z_c + Z_1} \times V_i \quad \text{Expressão 4}$$

$$G(s) = \frac{1}{R_1 \times C} \times \frac{1}{s + \frac{R_1 + R_2}{R_1 \times R_2 \times C}} \quad \text{Expressão 5}$$

$$H(\omega) = \frac{R_2}{R_1 + R_2 + j\omega \times C \times R_1 \times R_2} \quad \text{Expressão 6}$$

- De forma a calcular o ganho $G(s)$ em regime DC, tem-se que $s = 0 \rightarrow \omega = 0$, pelo que $G(0) = H(0) = \frac{R_2}{R_1 + R_2} = \frac{10}{30 + 10} = 0.25$. Novamente, o ganho DC corresponde ao obtido quando o condensador está em circuito aberto (condensador totalmente carregado, estando em regime estacionário).
- Para obter a frequência de corte ω_c em -3dB, determina-se o pólo de $H(\omega)$, dado por $R_1 + R_2 + j\omega_c \times C \times R_1 \times R_2 = 0 \Leftrightarrow \omega_c = \frac{R_1 + R_2}{R_1 \times R_2 \times C} = 1333,33 \frac{rad}{s} = 212,21 \text{ Hz}$.
- Para um sistema de 1^a ordem (apenas 1 componente que depende da frequência, sendo o condensador) com um pólo em ω_c , $H(\omega)$ terá um declive assintótico de -20 dB/dec a partir do pólo em causa.

Tendo em conta o comportamento do circuito descrito nas alíneas acima, conclui-se que o mesmo corresponde a um filtro passa-baixo passivo, de 1^a ordem, em que a sua função é bloquear ou atenuar (-20 dB/dec) as altas frequências ($H(\infty) = 0$) e, em oposição, deixar passar as frequências inferiores a ω_c .

3. Considerando o *firmware* desenvolvido no trabalho laboratorial anterior, tem-se uma saída digital enquanto gerador de onda quadrada, por *default* com amplitudes de $[0; V_{cc}]$, ainda que este range possa ser alterado ao conjugar-se com um divisor de tensão ou um circuito

comparável. A frequência da onda quadrada gerada pode também ser manipulada (*default* de 20 Hz), assim como o período de amostragem (*default* de 750 μ s, pelo que ao invés da função *millis()* recorreu-se à função *micros()*) dos sinais quantizados, transmitindo-se (com uma *baud rate* a 1M bits/s, de forma a não interferir no *streaming* dos dados e, consequentemente, na *performance* do sistema) V_i e V_o enquanto séries temporais para as entradas analógicas A0 e A1 (mimetizam um osciloscópio), respetivamente. O circuito em causa refere-se ao da Figura 1, sendo que a sua montagem experimental com o *Seeeduino Nano* se encontra na Figura 2 e no *TinkerCad* na Figura 3. No Anexo I, disponibiliza-se o código desenvolvido para este exercício, incorporando-se os comentários considerados necessários.

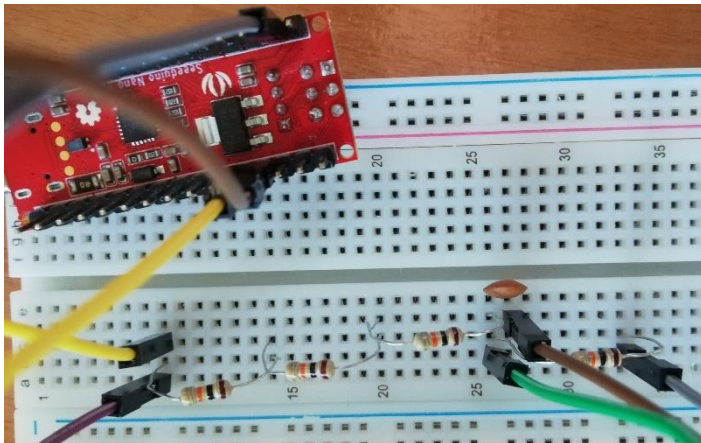


Figura 2 – Montagem do circuito ilustrado na figura 1 com recurso ao *Seeeduino Nano*, utilizando-se três resistências de 10k ohm em série de forma a obter-se uma resistência equivalente de 30k ohm. Cabos castanho e cinzento a estabelecer a ligação ao ground do condensador da resistência de 10k ohm, respetivamente. Cabo verde a estabelecer a ligação com a entrada analógica A1, de modo a registar os valores V_o . Cabo roxo a estabelecer a ligação com a entrada A0, de modo a registar os valores V_i . Cabo amarelo a estabelecer a ligação com o pin digital de saída 2, funcionando como gerador de ondas quadradas.

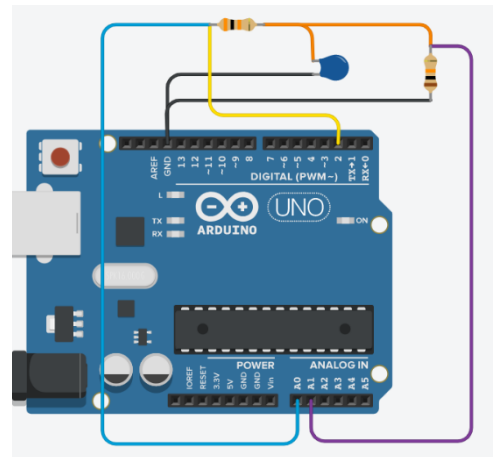


Figura 3 – Montagem do circuito ilustrado na figura 1, com recurso ao simulador do *TinkerCad*.

De modo a compreender o comportamento do circuito, a tensão V_o em função do tempo pode ser obtida aplicando o teorema de *Thévenin* (circuito equivalente de *Thévenin* ilustrado na Figura 4), considerando que para $t < 0$ o condensador estava totalmente descarregado. Para se obter a tensão de *Thévenin*, V_{th} , considera-se o circuito em vazio (terminais ab em aberto), ilustrando-se na Figura 5. A intensidade da corrente que circula na malha fechada que contém a fonte V_i é $I = \frac{V_i}{R_1 + R_2}$. Esta corrente origina uma tensão nos terminais ab igual à tensão em

R_2 , de onde resulta, através da lei de *Ohm*, $V_o = V_{th} = R_2 \times I = \frac{R_2}{R_1 + R_2} \times V_i = 1.25 \text{ V}$ (igual a V_c em regime DC calculado no exercício 1, como esperado). Para se calcular a resistência de *Thévenin*, R_{th} , há que inativar a fonte de tensão, substituindo-a por um curto-circuito (Figura 6). Neste caso, a resistência equivalente vista dos terminais ab é $R_{th} = R_1 || R_2 = R_1 \times \frac{R_2}{R_1 + R_2}$. Deste modo, a voltagem aos terminais do condensador em função do tempo, $V_c(t)$, é dada pela expressão 7, caracterizando a fase de acumulação de cargas elétricas (carregamento do condensador). Note-se que, caso o condensador não esteja completamente descarregado, o mesmo comportamento traduz-se pela expressão 8.

$$V_c(t) = V_{th} \left(1 - e^{-\frac{t}{\tau}} \right) = \frac{R_2}{R_1 + R_2} \times V_i \left(1 - e^{-\frac{t}{\tau}} \right), \quad \text{Expressão 7}$$

$$\text{com } \tau = R_{th} \times C = \frac{R_1 \times R_2}{R_1 + R_2} \times C = 0.75 \text{ ms}$$

$$V_c(t) = K_1 + K_2 e^{-\frac{t-t_0}{\tau}}, \quad \text{Expressão 8}$$

em que K_1 representa a voltagem aos terminais do condensador em circuito aberto (tensão máxima), e a constante $(K_1 + K_2)$ a tensão aos terminais do condensador quando $t = t_0$ (instante que demarca o início do carregamento). Quando $V_i = 0 \text{ V}$, o condensador começa a descarregar, com V_c a assumir um decaimento exponencial dado pela expressão 9, partindo da voltagem atingida no final do carregamento, $V_c(t_1)$.

$$V_c(t) = V_c(t_1) \times e^{-\frac{t-t_1}{\tau}} \quad \text{Expressão 9}$$

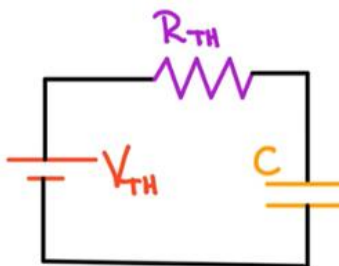


Figura 4 – Circuito Equivalente de Thévenin.

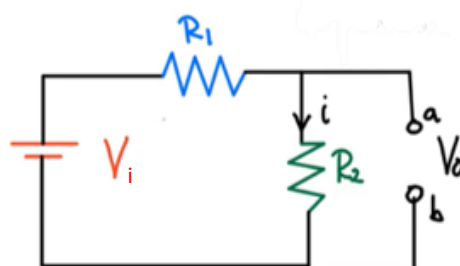


Figura 5- Circuito aberto aos terminais ab, de modo a calcular a tensão de Thévenin V_{th} .

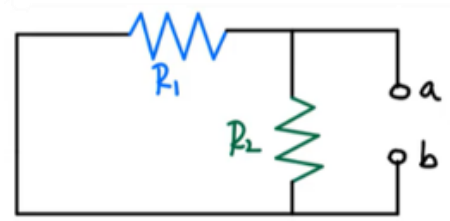


Figura 6 – Curto-circuito aos terminais do gerador de tensão, de forma a calcular a resistência de Thévenin R_{th} , vista aos terminais ab.

Ora, pela expressão 7, tem-se que $V_c(t = \tau) = 0.632 \times V_{th}$, com $V_c(t = 5\tau) \approx V_{th}$. Da mesma forma, e considerando que o condensador carregou completamente ($V_c(t_1) = V_{th}$), pela expressão 9 tem-se que $V_c(t - t_1 = 5\tau) \approx 0$. Ou seja, se V_i for uma onda quadrada de frequência $1/10\tau = 133.33$ Hz (período $T = 0,133$ s), a voltagem aos terminais do condensador alterna entre carregar até V_{th} (durante o período em que o sistema está *ON*) e, posteriormente, descarregar até 0 V (durante o período em que o sistema está *OFF*). Por outro lado, se a frequência da onda $f < 1/10\tau$, o condensador permaneceria completamente carregado durante mais tempo, assim como manter-se-ia totalmente descarregado durante mais tempo. Contudo, se a frequência da onda $f > 1/10\tau$, o condensador não terá tempo suficiente para carregar completamente durante o período *ON*, da mesma forma que não descarregaria totalmente durante o período *OFF*. Como tal, a variação da voltagem V_c será menor que V_{th} . Deste modo, dependente da relação entre a frequência da onda quadrada V_i e da constante τ , diferentes formas da onda $v_C(t)$ são obtidas. De modo a demonstrar experimentalmente, e para uma mesma configuração do circuito (constante τ fixa), testaram-se diferentes frequências da onda quadrada f :

- (i) $f = 1/10\tau = 133.33$ Hz ≈ 133 Hz (Figura 7). Analisando os códigos digitais atribuídos a V_o , tem-se que no período de carga atinge-se o código digital máximo que ronda os 247, o que pela expressão 10 equivale a 1,21 V, aproximando-se do valor estimado de $V_{th} = 1.25$ V com uma alimentação DC (estimado no exercício 1). Quanto ao código digital mínimo atribuído na fase de descarga, tem-se que ronda os 4, o que equivale a 0.02 V.
- (ii) $f = 20$ Hz $< 1/10\tau$ (Figura 8). Novamente analisando os códigos digitais máximo e mínimo atribuídos na fase de carga e descarga, respetivamente, obteve-se 250 (= 1.22 V) e 0 (=0V). Visualmente, confirma-se que a fase de carga de descarga se prolonga no tempo, sendo que V_{th} corresponderia a 1.22 V, próximo da estimativa teórica de 1.25 V.
- (iii) $f = 500$ Hz $> 1/10\tau$ (estabeleceu-se um $f < \frac{f_s}{2} = \frac{1}{750 \times 10^{-6} \times 2} = 666.67$ Hz, de modo que não ocorra aliasing). O código máximo atribuído rondou os 218 (=1.06 V), sendo o código mínimo de 47 (=0,23 V), confirmando-se que o condensador não carregou nem descarregou totalmente (Figura 9).

$$V_{\text{tensão}} = \frac{\text{valor}_{\text{ADC}} \times V_{\text{cc}}}{2^{10}} \quad \text{Expressão 10}$$

Ora, tendo em conta os resultados obtidos em (ii), em que $V_{th\text{experimental}} = 1.22\text{ V} < V_{th\text{teórico}} = 1.25\text{ V}$, pode-se especular que as discrepâncias se devem à degradação natural dos componentes, nomeadamente das resistências, afetando o cálculo teórico de V_{th} . Com a degradação das resistências, a parcela $\frac{R_2}{R_1+R_2}$ pode ser inferior ao valor obtido ao considerar-se os valores nominais das resistências R_1 e R_2 . Da mesma forma, as condições impostas em (i) podem não ser suficientes para o condensador atingir a carga e descarga máxima, tal como foi constatado através dos códigos digitais atribuídos. Mais uma vez, as degradações dos componentes, agora também da capacidade do condensador C , podem explicar estas discrepâncias, assim como resistências adicionais associadas aos cabos de ligação. Ainda assim, dada a proximidade dos valores teóricos com os valores experimentalmente obtidos, tem-se que a estimativa teórica de τ caracteriza bem o sistema real. Note-se que uma estimativa experimental da capacidade do condensador podia ser obtida ao determinar o τ_{real} , isto é, $V_c(t = \tau_{\text{real}}) = V_{th\text{experimental}} \times 0,632$, aplicando-se $C = \frac{\tau_{\text{real}}}{R_{th}} = \tau_{\text{real}} \times \frac{R_1+R_2}{R_1 \times R_2}$, pelo que também dever-se-ia determinar os valores experimentais das resistências.

Enquanto última observação, verificou-se que o intervalo temporal que separa as amostras (período de amostragem) é superior quando o gerador de onda quadrada está no estado *HIGH* (varia aproximadamente entre 900 a 912 μs), sendo que quando está no estado *LOW* atinge aproximadamente o período de amostragem pretendido de 750 μs . Apesar de a *baud rate* definida permitir transmitir os dados suficientemente rápido para que, teoricamente, seja atingido o período de amostragem pretendido (segundo o raciocínio aplicado no segundo relatório), o facto de aquando do período de carga se estar a transmitir mais dados para a porta série e, possivelmente, uma maior exigência de recursos para alimentação do circuito, poderá estar na origem do atraso observado. Definindo-se um *baud rate* superior (a máxima possível de 2M bits/s), diminui-se o tempo de transmissão dos dados para a porta série, obtendo-se um período de amostragem sensivelmente mais próximo de 750 μs . Note-se que este aspeto crítico

da transmissão dos dados para a porta série foi o que levou a transmitir códigos digitais e não os valores convertidos para voltagens, uma vez que requerem ser representados por *floats* (operações computacionalmente mais pesadas), levando a que sejam sempre transmitidos $4 \text{ chars} \times 10 \text{ bits/char} = 40 \text{ bits}$ para a porta série associados quer ao V_i quer ao V_o , ao contrário dos códigos digitais, que variam entre $3 \text{ chars} \times 10 \text{ bits/char} = 30 \text{ bits}$ a $1 \text{ char} \times 10 \text{ bits/char} = 10 \text{ bits}$ transmitidos.

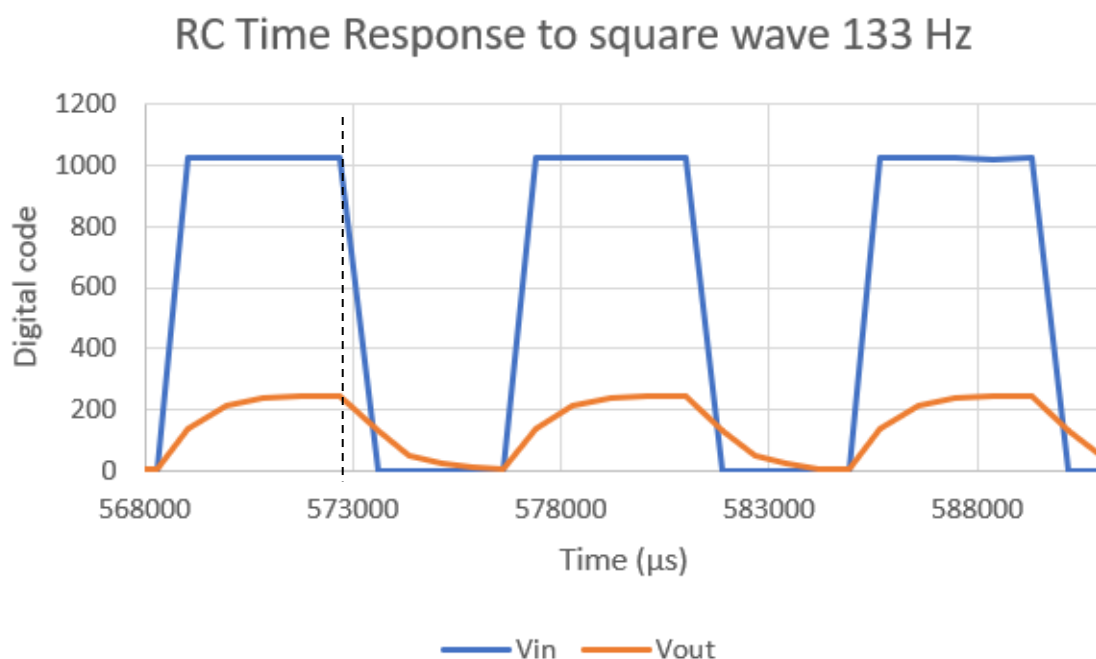


Figura 7 – Resposta temporal do circuito RC (V_{out}) obtida pelo Seeeduino Nano, considerando uma onda quadrada de frequência 133 Hz (V_{in}), com os dados a serem amostrados a $750 \mu s$. Note-se que a onda quadrada se apresenta distorcida na transição entre o estado HIGH e LOW devido à discretização, com as amostras teoricamente separadas por $750 \mu s$. A reta a tracejado serve o propósito de ilustrar que o instante temporal que demarca a transição entre os estados HIGH e LOW da onda quadrada coincide com a transição entre as fases de carga e descarga do condensador.

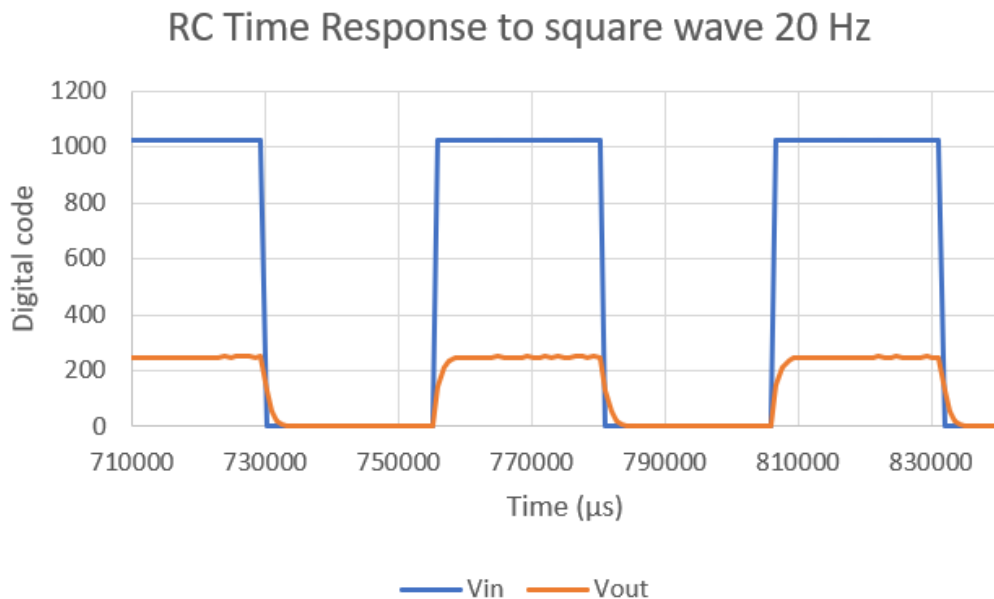


Figura 8 - Resposta temporal do circuito RC (Vout) obtida pelo Seeeduino Nano, considerando uma onda quadrada de frequência 20 Hz (Vin), com os dados a serem amostrados a 750 μ s.

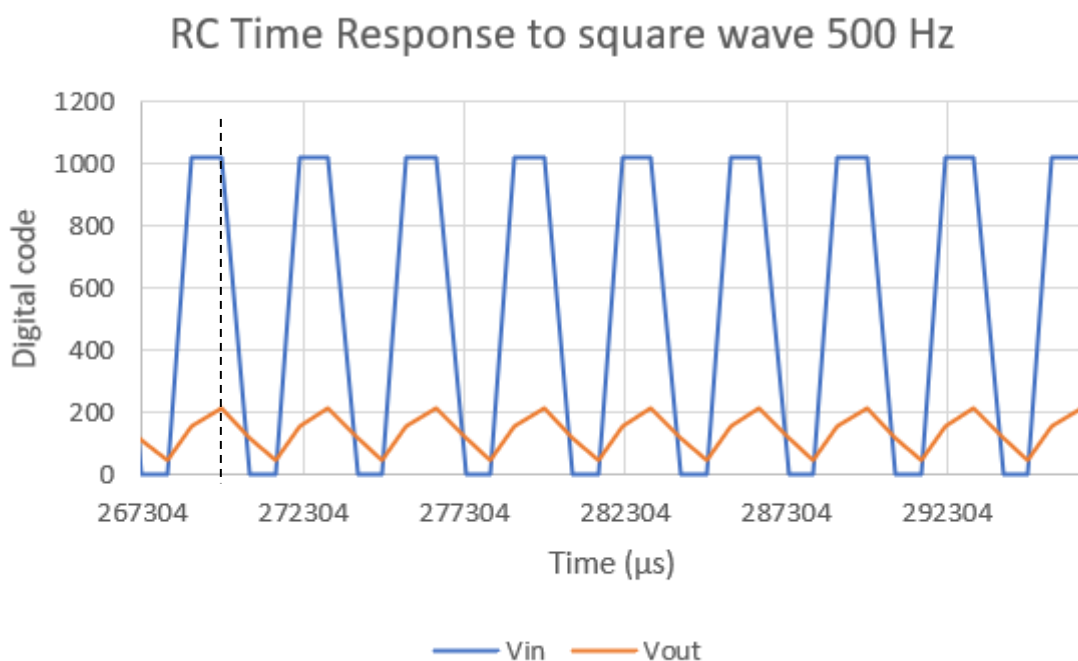


Figura 9 – Resposta temporal do circuito RC (Vout) obtida pelo Seeeduino Nano, considerando uma onda quadrada de frequência 500 Hz (Vin), com os dados a serem amostrados a 750 μ s. Note-se que a onda quadrada se apresenta distorcida na transição entre o estado HIGH e LOW devido à discretização, com as amostras teoricamente separadas por 750 μ s. A reta a tracejado serve o propósito de ilustrar que o instante temporal que demarca a transição entre os estados HIGH e LOW da onda quadrada coincide com a transição entre as fases de carga e descarga do condensador.

4. Para este exercício considerou-se valores experimentais (tabela 2) da tensão aos terminais do condensador V_o obtidos para a mesma montagem ilustrada na figura 1, modificando-se $R_1 = 1\text{k}\Omega$, aplicando-se à entrada ondas sinusoidais de diferentes frequências e amplitude pico a pico V_{pp} de 1 V ($=V_i$). Tendo em conta os valores de V_o e V_i , e considerando a expressão 11, calculou-se o ganho em dB. Na figura 10 encontra-se ilustrada a magnitude da resposta em frequência $|H(\omega)|_{dB}$ do circuito em questão. Repare-se que a amplitude de V_o diminui com o aumento da frequência, sendo característico de um filtro passa-baixo, como já concluído anteriormente no exercício 2.

Tabela 2 – Valores da amplitude da tensão de saída V_o , para diferentes frequências de ondas sinusoidais de 1 Vpp aplicadas na tensão de entrada V_i . Magnitude da resposta em frequência, em dB, é também apresentada, tendo sido calculada pela expressão 11.

	Frequência (Hz)	V_o (mV)	Ganho (dB)
1	5.0	940.20	-0,54
2	10.0	940.20	-0,54
3	50.0	930.40	-0,63
4	100.0	930.40	-0,63
5	500.0	918.20	-0,74
6	1000.0	880.70	-1,10
7	1500.0	820.90	-1,71
8	2000.0	750.80	-2,49
9	2500.0	690.30	-3,22
10	3000.0	630.20	-4,01
11	4000.0	530.10	-5,51
12	5000.0	443.90	-7,05
13	6000.0	396.60	-8,03
14	8000.0	310.20	-10,17
15	10000.0	250.40	-12,03
16	20000.0	140.20	-17,07
17	50000.0	52.00	-25,68

18	100000.0	28.04	-31,04
19	150000.0	19.80	-34,07
20	500000.0	8.10	-41,83
21	100000.0	4.10	-47,74

$$|H(\omega)|_{dB} = 20 \times \log_{10} \left(\frac{Vo(\omega)}{Vi(\omega)} \right) \quad \text{Expressão 11}$$

Na mesma figura 10, encontra-se também representada a resposta ideal $|H(\omega)|_{dB}$, considerando $R1 = 1k\Omega$, $R2 = 10k\Omega$ e $C = 100nF$. Segundo o raciocínio exposto no exercício 2.a), o ganho DC será de $\frac{R2}{R1 + R2} = 0,909 = -0.83 \text{ dB}$, sendo a frequência de corte $\omega_{c_{teórico}} = \frac{R1+R2}{R1 \times R2 \times C} = 11000 \text{ rad/s} \Rightarrow f_{c_{teórico}} \approx 1750 \text{ Hz}$. Com base nisto, definiu-se a resposta em frequência ideal para 3 décadas abaixo e 3 décadas acima de $f_{c_{teórico}}$, definindo-se $|H(\omega)|_{dB} = \text{ganho DC} = -0.83 \text{ dB}$ para $f \leq f_{c_{teórico}}$, decaindo -20 dB/dec a partir de $f_{c_{teórico}}$. Na tabela 3 apresentam-se os valores teóricos da resposta ideal.

Tabela 3 – Magnitude da resposta em frequência (em dB) ideal do circuito considerado, para ondas sinusoidais de 1 Vpp aplicadas à entrada, de frequências 3 décadas acima e abaixo da frequência de corte 1750 Hz. Para $f \leq f_{c_{teórico}}$, $|H(\omega)|_{dB} = \text{Ganho DC} = -0.83 \text{ dB}$, decaindo -20 dB/dec a partir de $f_{c_{teórico}}$

Frequency (Hz)	Ganho (dB)
1,75	-0,83
17,5	-0,83
175	-0,83
1750	-0,83
17500	-20,83
175000	-40,83
1750000	-60,83

De modo a estimar o declive do decaimento assintótico da resposta experimental, consideraram-se os últimos 8 pontos experimentais (frequências de 8000 Hz a 100000 Hz) para realizar um ajuste logarítmico. Não se consideraram os pontos a partir de $|H(f = f_{c_{experimental}})| \approx -3 \text{ dB}$ uma vez que o filtro experimental não é ideal, começando a atenuar

frequências $f < f_{c_{experimental}}$ (comportamento não ideal), apenas atingindo o declive assintótico mais tardiamente. Assim, de acordo com os dados experimentais, tem-se que:

- ganho DC = $0.9402 = -0,54$ dB
- $f_{c_{experimental}} \approx 2500$ Hz (magnitude da resposta em frequência $|H(f = 2500)| \approx -3$ dB)
- Ajuste logarítmico na região de decaimento assintótico é dado pela equação da reta $Magnitude = -7,776 \ln(f) + 59,339$, sendo que $\ln(f) = \frac{\log(f)}{\log(e)}$, pelo que $Magnitude = -17,90 \log(f) + 59,339$. Deste modo, o declive assintótico ≈ -17.90 dB/dec.

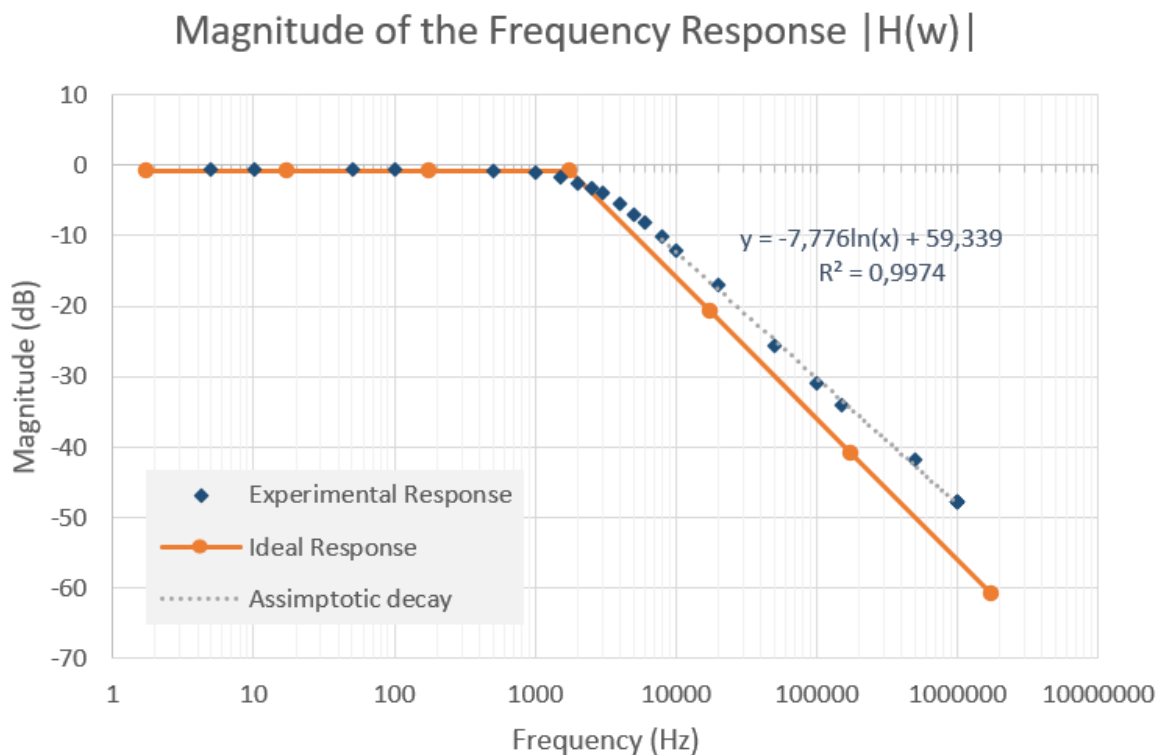


Figura 10 – Magnitude das respostas em frequência ideal (a laranja) e experimental (a azul), apresentando-se a reta de ajuste logarítmico à região de decaimento assintótico, com a respetiva equação da reta.

Comparando as respostas experimental e ideal do filtro passa-baixo, tem-se que o comportamento de atenuação das frequências superiores à frequência de corte ($f_{c_{teórico}}$ e $f_{c_{experimental}}$ para as respostas ideal e experimental, respetivamente) é verificado, contudo,

como já referido, a resposta experimental começa a atenuar frequências inferiores a $f_{c_{experimental}}$, apresentando um roll-off após $f_{c_{experimental}}$ que não permite atingir imediatamente o decaimento assintótico, definindo uma banda de frequências (banda de transição, ao invés da stopband num filtro ideal) que vai ter um efeito no sinal de saída V_o . Este comportamento pode ser manipulado ao aumentar-se a ordem do filtro, sendo que filtros de maior ordem se aproximam mais do filtro ideal.

Quanto à resposta ideal derivada a partir dos valores nominais dos componentes utilizados no circuito (R1, R2 e C), tem-se que, e tal como anteriormente referido, experimentalmente estes valores podem ser inferiores, devido à degradação que possa ter ocorrido, afetando o cálculo do ganho DC e da frequência de corte, podendo estar na origem das discrepâncias entre $f_{c_{teórico}} = 1750 \text{ Hz}$ e $f_{c_{experimental}} = 2500 \text{ Hz}$. Para além disto, e afetando o cálculo de $|H(\omega)|$ experimental (e, consequentemente, da estimativa do declive do decaimento assintótico), tem-se que foi considerado ondas sinusoidais de 1 Vpp, apesar de experimentalmente a amplitude da tensão à entrada não ser ideal, sofrendo variações.

Anexo I

```
int sensorPin_0 = A0; // selects the analog pin (A0) for transmitting the square wave, with amplitude [0; Vcc] V
int sensorPin_1 = A1; // selects the analog pin (A1) for transmitting the RC time response

bool digitalpin_state = HIGH; // initializes the state of the digital pin
const byte digitalpin = 2; // selects the digital pin (D2)

// Set the wave frequency
const int frequency = 133; // In Hz

// duty cycle 50%, corresponding to half of the wave period (in microseconds)
int interval_duty50 = pow(10,6)/(frequency*2.0);

// creates the variable for storing the char coming from the serial port
char incoming_byte;

// defines the sampling period (in microseconds)
int sampling_period = 750;

// initializes the system's state, controlling data transmission (0 not transmitting, and 1 for transmitting)
bool system_state = 0;

// initializes the variable to store the time instant associated to the last sample
unsigned long previous_micros = 0L;

// creates the variable for accessing the number of microseconds passed since the arduino board began
// running the current program
unsigned long current_micros;

// instant that marks the beginning of a specific level
unsigned long t0_level;

// the setup routine runs once when you press reset:
void setup() {
    // configures the digital pin as output, being assigned the operating voltage when set to HIGH state,
    // or 0V when set to LOW state

    pinMode(digitalpin, OUTPUT);

    // initialize serial communication at 1000000 bits per second:
    Serial.begin(1000000);
}

// the loop routine runs over and over again forever:
void loop() {
    if (Serial.available() > 0) {
        incoming_byte = Serial.read(); // read the incoming byte

        switch(incoming_byte) {
            case 'S': // character for starting streaming
                system_state = 1;

                // assigns the operating voltage since the HIGH state was define as the initial state
                digitalWrite(digitalpin, digitalpin_state);
                break;
        }
    }
}
```

```
case 'E': // character for ending streaming
system_state = 0;
previous_micros = 0L; // resets
break;
}
}

if (system_state) // streams sampled and quantitized data
{
current_micros = micros();
t0_level = current_micros;

// run until not being within the time period of each level
while (current_micros - t0_level <= interval_duty50){

// sampling and quantization will be performed
if (current_micros - previous_micros >= sampling_period){

Serial.print(current_micros);
Serial.print(",");

Serial.print(analogRead(sensorPin_0));
Serial.print(",");

Serial.println(analogRead(sensorPin_1));

previous_micros = current_micros; // assigns the time instant associated to the last sample
}

current_micros = micros();
}

// define the next level
digitalpin_state = !digitalpin_state;
digitalWrite(digitalpin, digitalpin_state);
}
}
```